

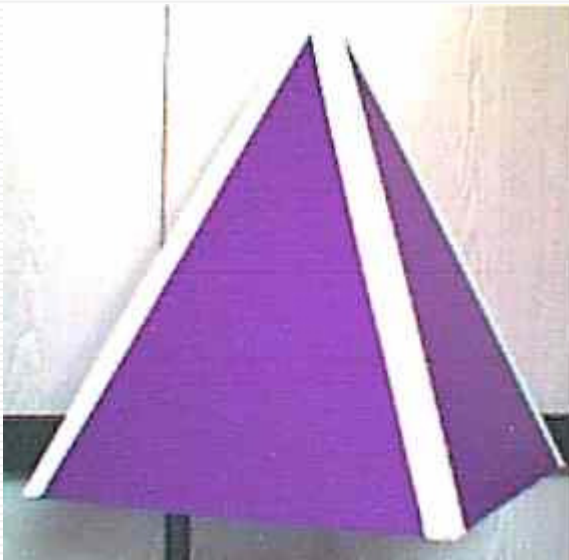
ЧЕЛОВЕК И ЭНЕРГОПОЛЕ

Пирамиды и другие генераторы энергоинформационных полей

[Д-р М. Гольдфельд](#)

2. УСЛОВИЯ ВОЗНИКНОВЕНИЯ ЭНЕРГЕТИЧЕСКИХ ПОЛЕЙ В ПИРАМИДАХ

Для изготовления пирамид и других геометрических фигур были использованы: пластмассы; металлы; пленки; дерево; ткани и др.



На первом этапе работы, было изготовлено пять четырехгранных пирамид одного размера, из пяти различных материалов. Все пирамиды подвешивались поочередно в одной точке. В трех пирамидах биолокатор фиксировал наличие поля. В двух - инструмент был практически неподвижен. Многократные проверки с заменой оператора не дали какой-либо новой информации. Было выполнено тестирование образцов материалов. Тестирование показало, что полевые свойства материалов аномальных пирамид существенно отличаются от свойств материалов остальных. Была

разработана методика входного тестирования любых материалов. Это позволило все имевшиеся в нашем распоряжении материалы поделить на две группы. По критерию пригодности для изготовления пирамид и других аналогичных объектов все материалы можно определить как:

1. Энергоактивные, которые практически мгновенно поляризуются при изменении вектора геополя ().
2. Энергопассивные, поле которых незначительно реагирует на изменение вектора геополя.

В пределах каждой группы энергоинтенсивность материалов существенно отличается. Поэтому группы были разбиты на подгруппы.

Отметим, что материалы, как первой, так и второй групп могут обладать одинаковыми другими свойствами (5), например электрическими, диэлектрическими, магнитными и т.д. Однако, для изготовления пирамид и некоторых других объектов, где производимым продуктом является энергетическое поле, материалы второй группы непригодны. Использование энергоактивного материала для изготовления пирамиды является условием, необходимым, но не достаточным для возникновения энергетических полей. Это условие вторичное. Первичным условием является геофизическая (энергетическая) ситуация в данном локальном регионе. Колебание этой ситуации приводит к колебанию энергии в пирамиде. Резкие изменения, типа магнитных бурь, грозных фронтов, высокой солнечной активности и др. приводящие к

изменению вектора геополя, могут нейтрализовать энергетику пирамиды, или даже полностью изменить ее исходную полярность. Экранирование пирамиды от внешних энергополей, переводит ее в нейтральное состояние.

3. ЭНЕРГЕТИКА ПИРАМИДЫ И ВЛИЯНИЕ ЕЕ НА ЭНЕРГЕТИКУ ОКРУЖАЮЩЕЙ СРЕДЫ.

(В этом разделе, в основном, рассмотрены линейные поля на примере 4х-гранной открытой пирамиды.)

Для изготовления пирамид желательно выбирать материалы, имеющие максимально сбалансированную энергетику. Технологические дефекты производства, типа дислокаций (5) нарушают энергетический баланс. Входное тестирование позволяет отобрать материал с минимальными энергетическими дефектами. При изготовлении пирамиды исходные энергетические поля материала могут перераспределяться. Интенсивность перераспределения зависит от конструкции и геометрических параметров пирамиды. При этом может возникнуть локальный энергетический дисбаланс. Известно, что любое тело обладает внутренним и наружным полями (2). Ошибочно представлять, что эти поля жестко связаны: внутреннее с объемом тела, а внешнее с его поверхностью. При изменении внешних полевых условий может произойти перераспределение внутренних и наружных полей для наибольшей адаптации данного тела к изменившейся среде. Для проверки свойства перераспределения полей был выполнен следующий эксперимент.

Расплав стеарина был залит в три пронумерованные формы, диаметром 100мм. и высотой 10 мм. Первая форма была помещена в плоскости основания по оси пирамиды. Вторая и третья были установлены снаружи в той же плоскости, в контакте со стенками пирамиды, симметрично относительно ее оси. После затвердевания и извлечения из формы у первого образца было замерено внешнее поле. По всем поверхностям оно было положительным. Затем образец был разделен на две части по осевой плоскости. В разломе было зафиксировано отрицательное поле. Исследование поля второго образца показало, что внешнее его поле отрицательное, а внутреннее - положительное. Аналогичное внешнее поле имел третий образец. Без разрушения в твердом состоянии он был помещен под пирамиду в положение первого образца. Через 20 минут третий образец был извлечен и проверен. Он имел положительное внешнее поле и отрицательное внутреннее. Следовательно, под влиянием полевой среды пирамиды в материале образца произошла полная переполяризация в твердом состоянии. Эксперимент также показал, что пирамида обладает способностью навязывать свою полевую структуру находящимся в ней объектам. Из эксперимента ясно, что у четырехгранной пирамиды внутри доминирует положительное поле, снаружи отрицательное.

Пирамида осуществляет энергетическую организацию (поляризацию) окружающего пространства. По оси пирамиды вниз и вверх образуются цепи энергетических пирамид. Первая нижняя энергетическая пирамида имеет положительное поле. Первая верхняя - отрицательное. Первые нижняя и верхняя энергетические пирамиды геометрически зеркальны по отношению к реальной. Последующие - зеркальны по отношению к предыдущим. Энергетические пирамиды разделены либо узлом инверсии энергии (в случае контакта вершин) либо зоной инверсии энергии (в случае контакта оснований). В узле и зоне инверсии энергетическое поле меняет свой знак. В горизонтальном направлении, перпендикулярно оси 4-гранной пирамиды в окружающем пространстве доминирует отрицательное энергетическое поле. Дальнодействие вертикальных и горизонтальных зон энергии зависит от размеров пирамиды, ее геометрических

параметров и материала. Размеры энергетических пирамид (по высоте) могут совпадать или не совпадать с реальной пирамидой. Наибольшая интенсивность поля для разных пирамид находится ниже основания, на расстоянии $1/3 - 1/4$ высоты. Наиболее интенсивным полем среди выпуклых пирамид обладает 4х-гранная, если она выполнена по оптимальным параметрам.

Исследование энергетического дальнего действия пирамиды высотой 50см. было выполнено по оси в пределах ± 5 метров. В этом диапазоне зафиксированы цепи нижних и верхних энергетических пирамид. Энергия пирамиды свободно преодолевает потолочные перекрытия. Перпендикулярно оси энергия пирамиды фиксировалась на расстоянии до 10 метров. У пирамиды, заполненной грунтом, это расстояние уменьшается в пять раз. Пространство между осевыми и радиальными полями заполнено промежуточными полями, значительно меньшей интенсивности. Используя эффект перераспределения полей можно создавать пирамиды с различными полевыми свойствами.

1. Доминирующее положительное поле внутри, отрицательное снаружи.
2. Доминирующее отрицательное поле внутри, положительное снаружи.
3. Доминирующее положительное поле внутри и снаружи, и т. д.

У 4х-гранной пирамиды с закрытой плоскостью основания присутствуют все поля, свойственные для открытой пирамиды. Несколько меняется структура полей и уменьшается их интенсивность.

Для каждой конструкции пирамид экспериментально определены геометрические параметры максимальной энергетике. Для каждой конструкции в зависимости от ее геометрии интенсивность поля может меняться в несколько раз. Параметры пирамид максимальной энергетике существенно отличаются от параметров, соответствующих пропорциям золотого сечения. Полученные результаты позволили ранжировать все исследованные конструкции пирамид по уровню максимальной интенсивности поля.

3.1. ЗАВИСИМОСТЬ ИНТЕНСИВНОСТИ ЭНЕРГИИ ОТ УГЛА ПРИ ВЕРШИНЕ ПИРАМИДЫ

Исследования проводились на фрагментах. Каждый фрагмент состоял из двух противоположных граней пирамиды. Фрагменты были изготовлены из 5 различных энергоактивных материалов. Для замеров полей использовался биолокатор 2. Замеры проводились: а) в плоскости симметрии граней - осевая интенсивность и б) в плоскости, перпендикулярной осевой – радиальная интенсивность. Величина угла при вершине граней фрагментов изменялась в диапазоне от 30° до 150° .

Результаты. У всех фрагментов прослеживалось одинаковая тенденция влияния изменения угла на интенсивность поля. В зоне малых углов $30^\circ - 50^\circ$ осевая и радиальная составляющие примерно равны. При увеличении угла наблюдается рост осевой интенсивности и уменьшение радиальной. При некотором значении угла осевая интенсивность становилась максимальной, при этом радиальная уменьшалась до нуля. При дальнейшем увеличении угла осевая интенсивность убывала, радиальная – возрастала. Для различных фрагментов (материалов) максимальная осевая интенсивность несколько отличалась (в пределах 20%). При этом – радиальная всегда была равна нулю, а угол при вершине имел одно и тоже значение.

Для проверки полученного результата каждый фрагмент был составлен из двух различных материалов. Исследования этих фрагментов не дали каких-либо закономерных результатов. Уровень интенсивности полей был в 2-3 раза меньше, чем у фрагментов, состоящих из одного материала. Найти условие, при которых одна из составляющих интенсивности была равна нулю, не удалось.

Аналогичные фрагменты были выполнены из энергопассивных материалов. Интенсивность полей во всех случаях была в 6-8 раз меньше, чем у фрагментов из одного материала. Наиболее интересным был следующий результат. У энергопассивных материалов в диапазоне углов от 45 до 120 градусов осевая и радиальная составляющие интенсивности были практически равны. Повторные серии опытов не внесли каких-либо существенных изменений в описанные выше результаты. Это позволило сформулировать следующий, возможно предварительный, вывод. Для пирамид, выполненных из энергоактивных материалов, интенсивность осевых и радиальных полей не зависит от физико-химических свойств материалов, а является функцией угла при вершине. Максимальное значение осевой интенсивности для любых материалов фиксируется при одной и той же величине угла. Радиальная составляющая при этом значении угла равна нулю.

Полученные результаты дают основание предположить, что в основе возникновения полей в пирамиде действует механизм « спин-спинового взаимодействия, которое распространяет упорядоченную ориентацию одних ядерных частиц на другие» (9).

В случае пирамид ориентация спинов одной грани воздействует на ориентацию спинов противоположной грани. Возможны взаимные ориентационные воздействия. При этом энергетические поля спинов при больших или малых углах частично суммируются. При величине оптимального угла при вершине пирамиды ориентация спинов может создавать условия энергетического резонанса, что обеспечивает максимум осевой составляющей интенсивности и нулевое значение радиальной.

3.2. Т-ТОРСИОННЫЕ ПОЛЯ

В средствах информации периодически возникают дискуссии по поводу торсионных полей. Существуют две полярные точки зрения: торсионные поля реальны; торсионные поля не реальны.

Автор данной работы наблюдал т-торсионные поля ежедневно, причем от различных генераторов. С помощью высокочувствительного биолокатора визуализация

т-торсионного поля осуществляется надежно и весьма просто.

Зафиксированные источники т-торсионных полей можно поделить на две группы:

1. Естественные – в которых т-торсионное поле генерируется за счет собственной

энергии материала и энергии окружающей среды. Это пирамиды, цилиндры и др. К

этой группе, по-видимому можно отнести т-торсионные поля биологических источников.

2. Искусственные – в которых т-торсионное поле генерируется за счет использования

какого-либо вида подведенной энергии: механической, электрической, химической и

др. Это:

а) вращающиеся детали: диски, маховики, колеса автомобиля, роторы турбин и т.д.

б) детали, находящиеся в состоянии упругой деформации под действием статических

или динамических нагрузок: валы, плоские и спиральные пружины, корпуса и т.д.

в) элементы электрических схем: резисторы, конденсаторы, индуктивности и др., находящиеся в состоянии функционирования.

В данном отчете будут рассмотрены естественные источники т-торсионных полей. Одним из принципиальных вопросов, на который необходимо было получить ответ заключается в следующем: что является первичным? Поляризованная среда в зоне действия пирамиды, порождающая т-торсионное поле или т-торсионное поле, порождающее поляризованную среду. В процессе поиска ответа на этот вопрос было подготовлено и выполнено несколько экспериментов. Необходимо было создать условия, при которых существовало бы только одно поле.

С помощью специальной технологии внутри и снаружи пирамиды была создана однополярная поляризованная среда. Исследование этой среды показало, что пирамида создает все элементы энергетической организации пространства: цепи осевых энергетических пирамид с узлами и зонами инверсии, а также радиальные и промежуточные поля.

Т-торсионные поля при этом отсутствуют.

Было найдено и исследовано несколько геометрических тел, которые создают поляризованную среду, но не генерируют т-торсионные поля. Эти результаты подробнее будут изложены ниже.

Обнаружить т-торсионное поле вне поляризованной среды при исследовании естественных генераторов не удалось. Результаты описанных исследований позволили сформулировать:

3.3. УСЛОВИЯ ВОЗНИКНОВЕНИЯ Т-ТОРСИОННОГО ПОЛЯ.

1. Т-торсионное поле возникает в поляризованной среде.
2. Поляризованная среда должна содержать положительную и отрицательную компоненты поля.
3. Т-торсионное поле возникает при условии существования постоянного или переменного энергетического дисбаланса между положительными и отрицательными компонентами поляризованной среды.

4. Т-торсионное поле возникает, если положительные и отрицательные компоненты поля входят во взаимодействие.

5. Если во взаимодействии доминирует положительная компонента, то возникает

т-торсионное поле левого вращения (против часовой стрелки). При доминировании во взаимодействии отрицательной компоненты, возникает т-торсионное поле правого вращения (по часовой стрелке).

Приведенная кинематика т-торсионных полей была проверена и подтверждена на стеариновых образцах.

Физическая природа входящих во взаимодействие полей может быть различной: электростатические, биологические, магнитные, электромагнитные. Соответственно и полевая структура т-торсионных полей должна быть различной. В экспериментах были воспроизведены взаимодействия электростатических, положительных и отрицательных полей, электростатических и магнитных, и т.д. Во всех случаях направление вращения диктовалось доминирующим полем.

3.4. ТИПЫ Т-ТОРСИОННЫХ ПОЛЕЙ

Наблюдения показали, что поляризованная среда, в зависимости от уровня дисбаланса и интенсивности, может порождать три типа т-торсионного поля.

1. Тип - постоянное, характеризующееся вращением в одном направлении (по часовой или против часовой стрелки), связанное с постоянным дисбалансом.

2. Тип - переменное симметричное, характеризуется циклической сменой направления вращения поля с переходной прямолинейной фазой. Количество правых и левых вращений равно. Процесс может быть стабильным или затухающим.

3. Тип - переменное ассиметричное, характеризуется циклической сменой направления вращения с переходной прямолинейной фазой. Количество правых и левых вращений различно. При доминировании левых вращений - левая ассиметрия. В противоположном случае - правая ассиметрия. Процесс может быть стабильным или затухающим.

3.5. Т-ТОРСИОННЫЕ ПОЛЯ В ПИРАМИДАХ

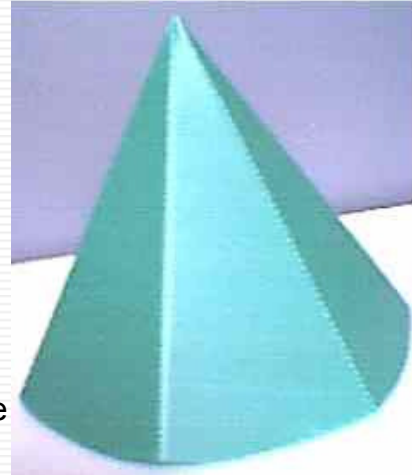
В работе (8) отмечено: "Особый класс торсионных генераторов составляют устройства, использующие поверхности с той или иной топологией." Рассмотрим этот вопрос более подробно. Выше было показано, что пирамида поляризует внутреннее и внешнее пространство. Интенсивность поляризации по разным направлениям не одинакова.

По оси 4х-гранной пирамиды образуются т-торсионные конуса внутри реальной и энергетических пирамид. В энергопирамиде, имеющей положительное поле, образуется торсионный конус левого вращения. В энергопирамиде с отрицательным полем образуется торсионный конус правого вращения. Образующие указанных конусов всегда находятся внутри энергопирамид. В узлах или зонах инверсии поля т-торсионный конус меняет направление вращения, а также приобретает зеркальную форму по отношению к предыдущему. Внутри 4х-гранной пирамиды одновременно генерируются т-

торсионные поля правого и левого вращения. В верхней части поле правого вращения, в нижней - левого. Плоскость, разделяющая эти поля, перпендикулярна оси и находится на расстоянии $H=1/3$ высоты от вершины пирамиды. Снаружи, у поверхности пирамиды, симметрично внутренним полям, расположены, вверху (в пределах $1/3$ высоты) отрицательное, внизу - положительное т-торсионные поля.

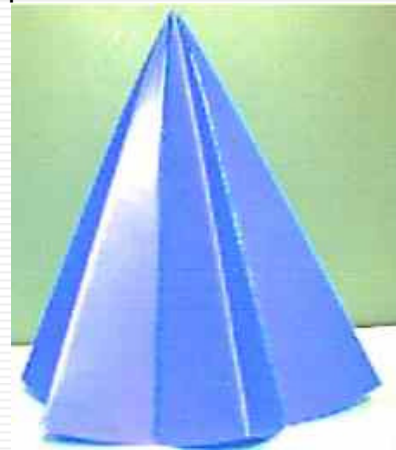
У 6-гранной пирамиды $H=1/5$. Она в два раза уступает 4х-гранной пирамиде по интенсивности т-торсионного поля при одинаковых высотах. Среди выпуклых пирамид 4х-гранная обладает наиболее интенсивным т-торсионным полем.

Осевые т-торсионные поля пирамиды являются полями первого типа. В радиальном направлении, в пределах высоты пирамиды возникают т-торсионные поля первого типа на расстоянии от одной до двух высот от оси пирамиды. Разница зависит от материала. У пирамиды из алюминия это расстояние составляет до двух высот. У пирамид из полимерных материалов 1-1.5 высоты. По мере удаления от оси пирамиды интенсивность т-торсионного поля уменьшается. Меняется и тип поля. Наблюдается сначала т-торсионное поле второго типа, переходящее в третий тип правой асимметрии. Для четырехгранной пирамиды с высотой 50см., на расстоянии 5.5м и дальше биолокатор фиксирует только наличие поляризованной среды. У пирамиды, выполненной на основе шестиконечной звезды, максимальное расстояние фиксирования радиального т-торсионного поля достигает 7.5 метра. Приведенные расстояния определяются чувствительностью биолокатора. Найден детектор-усилитель т-торсионного сигнала. Его использование позволило зафиксировать т-торсионное поле в пределах всей поляризованной зоны.



Все пирамиды, выполненные на основе звезд, имеют осевые и радиальные т-торсионные поля. Интенсивность полей значительно отличается. Наиболее интенсивные поля - у пирамиды на основе 6-конечной звезды, если она выполнена в оптимальных параметрах.

В промежуточных зонах между осевым и радиальным направлениями фиксируются т-торсионные поля третьего типа, значительно меньшей интенсивности. При этом поля левой асимметрии находятся в пределах угла 45° от оси. Поля правой асимметрии - в пределах такого же угла от перпендикуляра к оси. Наблюдения показывают, что т-торсионные поля от источника распространяются по закону сферы, но интенсивность полей в разных направлениях существенно отличаются.



3.6. Т-ТОРСИОННЫЕ ПОЛЯ В ЦИЛИНДРЕ

Исследование проводилось на трубах в диапазоне диаметров $\varnothing=50 - 220$ мм. Использовались материалы первой группы, в том числе сталь и пластмасса. В отличие от пирамид в трубах зафиксирована попарная локализация полюсов. Полюса формируют поляризованную среду, которая создает т-торсионное поле II типа. Положение оси цилиндра в пространстве

(горизонтальное, вертикальное) не влияет на тип т-торсионного поля. Заполнение трубы жидкостью также не оказывает влияния на тип т-торсионного поля.

Для изучения влияния внешнего интенсивного поля на энергетику трубы были выполнены эксперименты. На участок трубы \varnothing 100мм. из стали было оказано воздействие постоянным магнитом. Интенсивность полей в зоне полюсов резко (в 3 раза) возросла. На этом участке возникло т-торсионное поле I типа.

Аналогичный результат был получен при воздействии внешнего электростатического поля. Опыты были повторены на пластмассовых \varnothing 180мм. и \varnothing 220мм. трубах. Результаты были аналогичными.

3.7. ГЕОМЕТРИЧЕСКИЕ ФИГУРЫ, НЕ СОЗДАЮЩИЕ Т-ТОРСИОННОЕ ПОЛЕ

Выше было показано, что у 6-гранной пирамиды т-торсионное поле менее интенсивное по сравнению с 4-гранной. Но при использовании пирамиды с $n=8$, где n - число граней, т-торсионное поле не было обнаружено. Для поиска причин этого, был изготовлен и исследован конус высотой 43.3 см.



Исследование энергетических полей внутри конуса показало, что поляризованная среда состоит из двух компонент: положительной и отрицательной.

Отрицательное поле имеет форму конического кольца, расположенного касательно внутренней поверхности конуса. Толщина его изменяется от максимума внизу до нуля вверху.

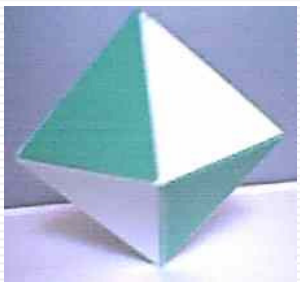
Внутри отрицательного кольца расположен положительный энергетический конус. Отрицательное кольцо и положительный конус находятся в соприкосновении, но не взаимодействуют. Замеры и последующие расчеты показали, что объемы энергетических компонент в конусе равновелики. Для



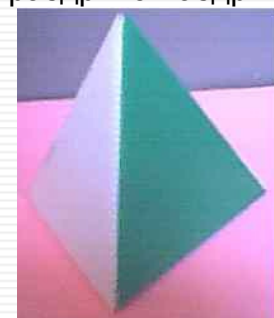
проверки полученного результата на участок внешней поверхности конуса было оказано воздействие магнитным полем. Замеры показали нарушение энергетического баланса. Это привело к появлению т-торсионного поля первого типа. После снятия внешнего воздействия т-торсионное поле исчезло через несколько секунд. Конус создает все элементы внешней поляризованной среды, но без

т-торсионного поля. Все вертикальные энергетические конуса создают две компоненты как в реальном конусе.

Аналогичная энергетическая ситуация возникает в выпуклых пирамидах при $n \geq 8$.



Были изготовлены еще две фигуры, которые не генерируют внешнее т-торсионное поле: пустотелые тетраэдр и октаэдр. Это замкнутые геометрические тела, у которых отрицательные поля находятся внутри, а положительные на внешней поверхности. Поля не имеют возможности войти во взаимодействие. Соответственно, они не могут создать т-торсионное поле.



До сих пор рассматривались геометрические тела образованные плоскими гранями. Представляет интерес энергетика тел, образованных неплоскими поверхностями.

Были изготовлены 4х-угольные вогнутые и выпуклые тела. Первая имеет конструкцию крыши пагоды, вторая - купола.



Для формирования боковых поверхностей была использована геометрия цилиндра. Исследования энергетики дали следующие результаты: линейное поле изменяется у обеих конструкций. У крыши пагоды - от положительного в центре до отрицательного на периферии. У купола от отрицательного в центре, до положительного на периферии. Внутри, в верхней части у "пагоды" - правое т-торсионное поле, у купола - левое. Ниже, в пределах 1/10 высоты зафиксирована "мертвая" зона. В нижней части у пагоды левое т-торсионное поле, у купола - правое. По оси, за пределами тел, выше верхней точки и ниже плоскости основания т-торсионное поле отсутствует. Нет его и в радиальном направлении. Но наибольший интерес вызывает поляризованная зона под телами. В отличие от пирамид, она имеет форму квадратной энергетической колонны постоянного сечения. Распределение энергии в плоскости перпендикулярной оси аналогично распределению в самих телах. Отсутствуют узлы и зоны инверсии энергетического поля.

[t](#) [u](#)

[to main](#)

[BACK](#)